

Tab. 27: Rio Apa-Hochland: Maximawerte für Hauptstreichrichtungen
vertikaler bis subvertikaler Störungen = *Fallas tectónicas*.

Geol. Einheit	1. Maximum	2. Maximum	3. Maximum	Nebenmaxima
pGgm (Basalkomplex Rio Apa)	0° - 10°	120° - 130°	110° - 120°	-
Mv	0° - 10°	140° - 150°	170° - 180°	60° - 70° 10° - 20°
pGms / pGmg	0° - 10°	30° - 40°	50° - 60°	40° - 50° 60° - 70°
EO1/W	60° - 70°	170° - 180°	0° - 10°	70° - 80° 100° - 110° 120° - 130°
EO1/E	0° - 10°	170° - 180°	20° - 30°	-
Egr	0° - 10°	170° - 180°	160° - 170°	110° - 120° 120° - 130°
Ep	110° - 120°	100° - 110° 0° - 10°	120° - 130°	-
K	60° - 70° 0° - 10°	170° - 180°	160° - 170° 70° - 80° 20° - 30°	-

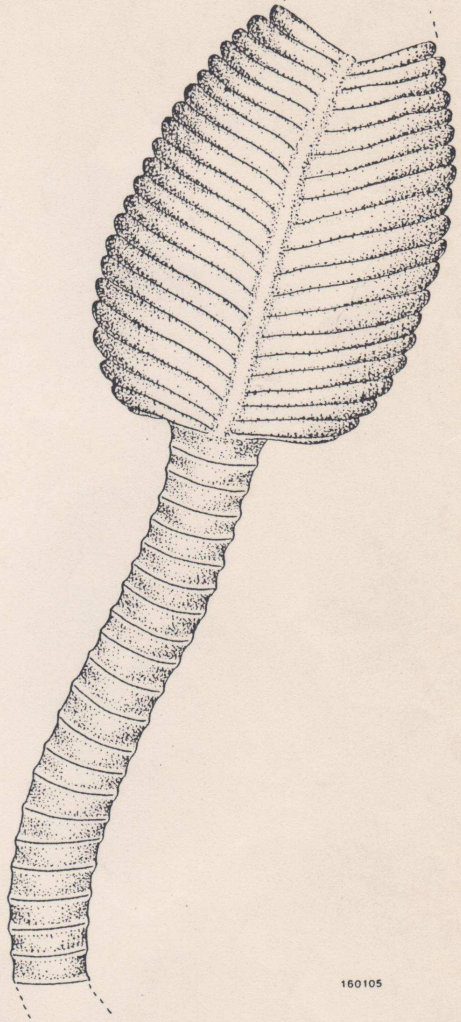
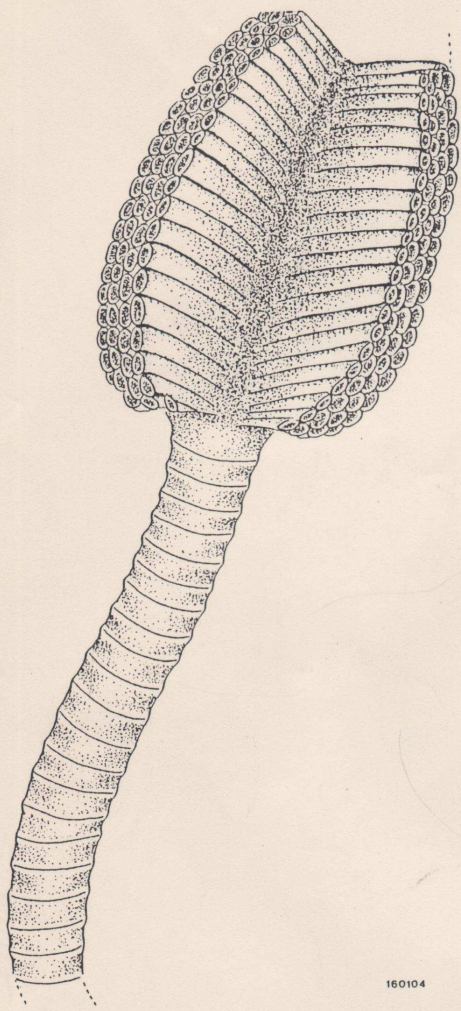
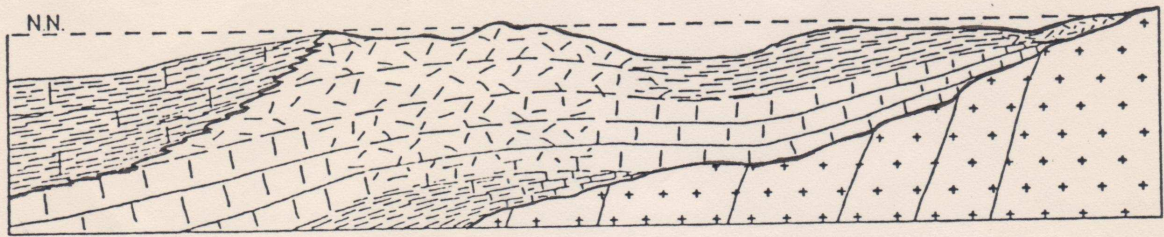


Abb. 5. Rekonstruktion des Stockes von *Corumbella weneri* n. gen., n. sp. – a) Stellung in Strömungs-Richtung. – b) Stellung gegen die Strömungs-Richtung. – Der Stock ist verkürzt dargestellt.

M. M. M.

Pendiente de plataforma	Borde de plata- forma o arrecife	Plataforma real (bajío-laguna)	Platafor- ma, area costera	Tie- rra
----------------------------	-------------------------------------	-----------------------------------	----------------------------------	-------------



Plataforma - area costera:

Zona de facie: Formación de yeso y anhidrita por evaporación en areas supratidales, con inundaciones esporádicas (clima árido).

Litología: Calizas dolomíticas laminadas irregularmente, en parte pasando a calizas rojas (ambiente oxidante); intercalaciones clásticas; influencia de estromatolitos.

Plataforma real (bajío - laguna):

Zona de facie: Bahías abiertas, lagunas cerradas y aguazales costeras con circulación de agua limitada.

Litología: Tipos de calizas muy variadas: calizas dolomíticas, calizas oolíticas-pisoídicas, lutitas calcareas, calizas estromatolíticas, calizas intraclásticas, influencia terrigena. Texturas fenestrales locales y laminación milimétrica son características.

Borde de plataforma o arrecife:

Zona de facie: Carbonatos seleccionados y transportados desde areas playas, regiones costeras y areas de mareas. Puede quedarse seco o sufrir influencia vadosa.

Litología: Calizas masivas y dolomíticas con ooidos-pisoides; ausencia de influencia terrigena; entrecruzamiento es comun.

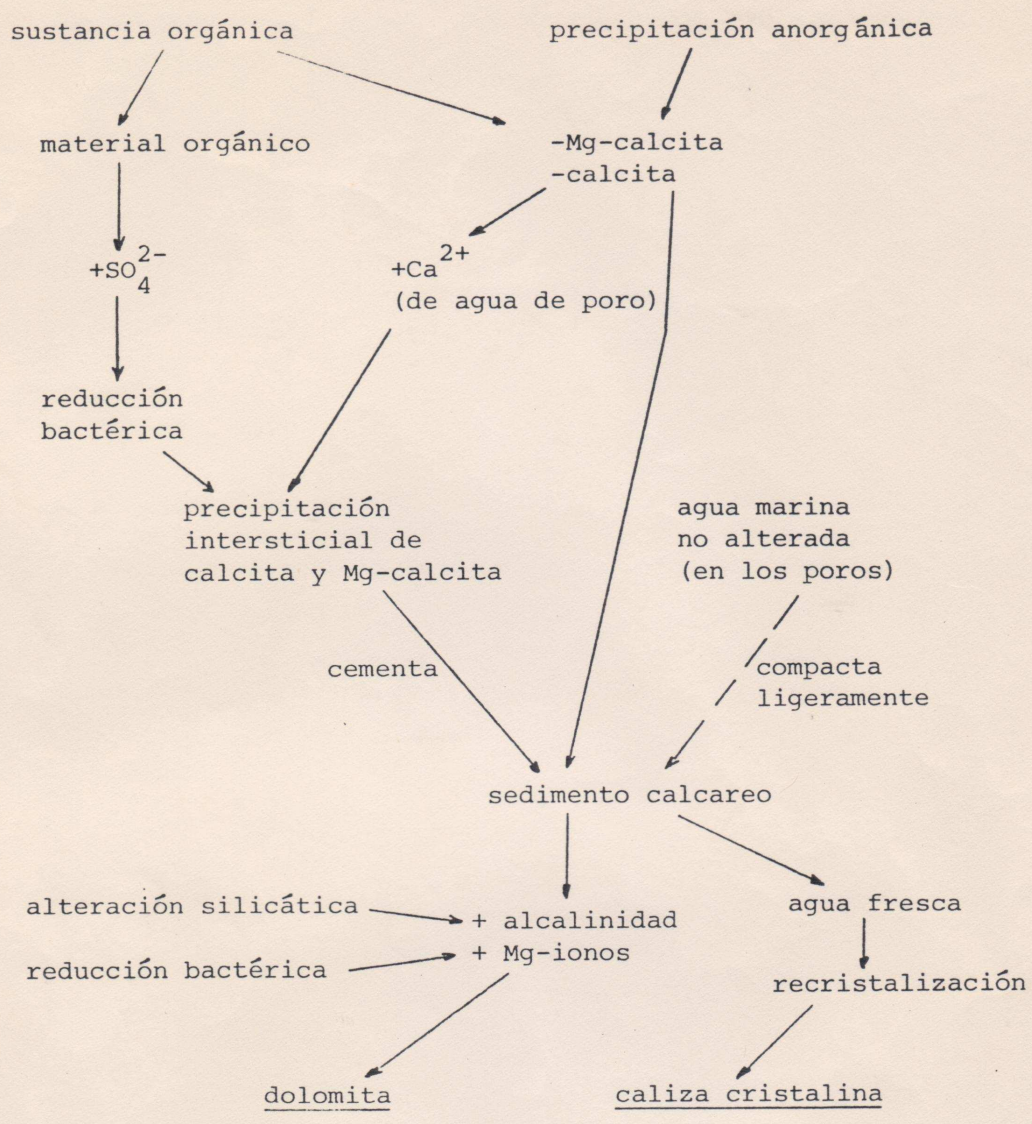
Pendiente de plataforma:

Zona de facie: Sedimentación de detritus carbonático y en parte de material pelágico.

Litología: Calizas de granulometría fina (lutitas calcareas obscuras); en parte formación de silice; algunas intercalaciones de siltitas; abundancia de cuerpos calcareos masivos; estratificación gradual; influencia de organismos autóctonos (?).

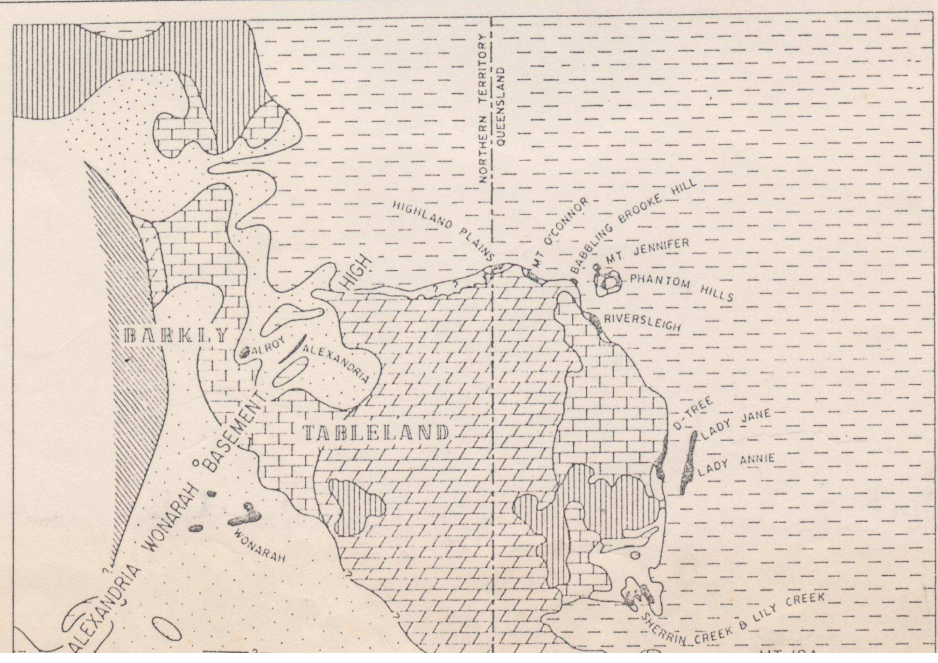
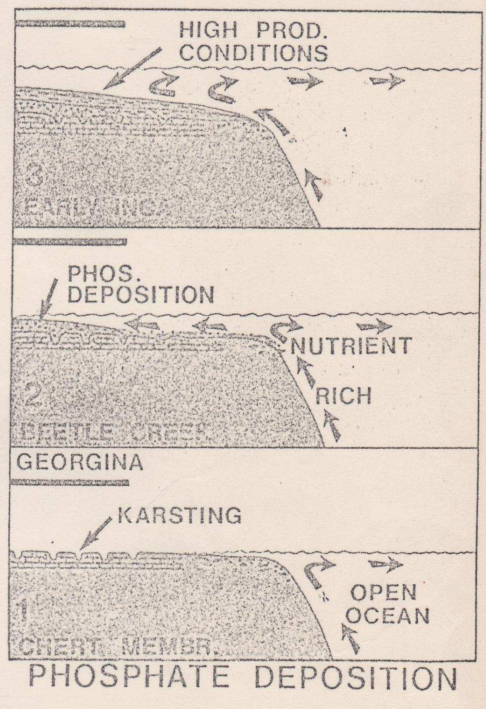
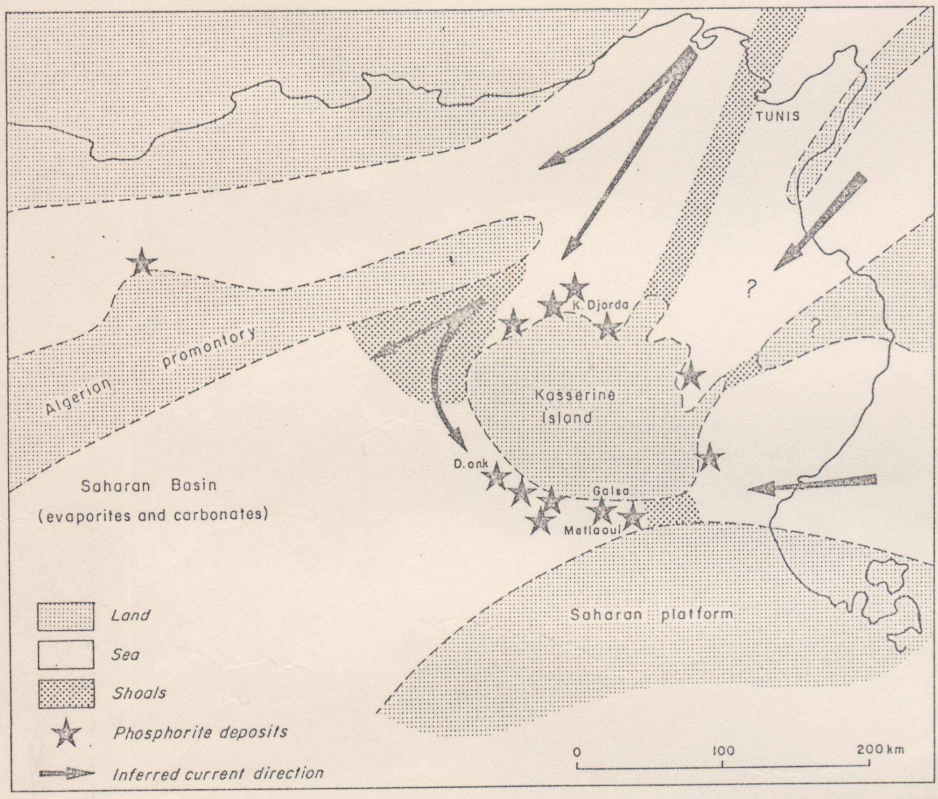
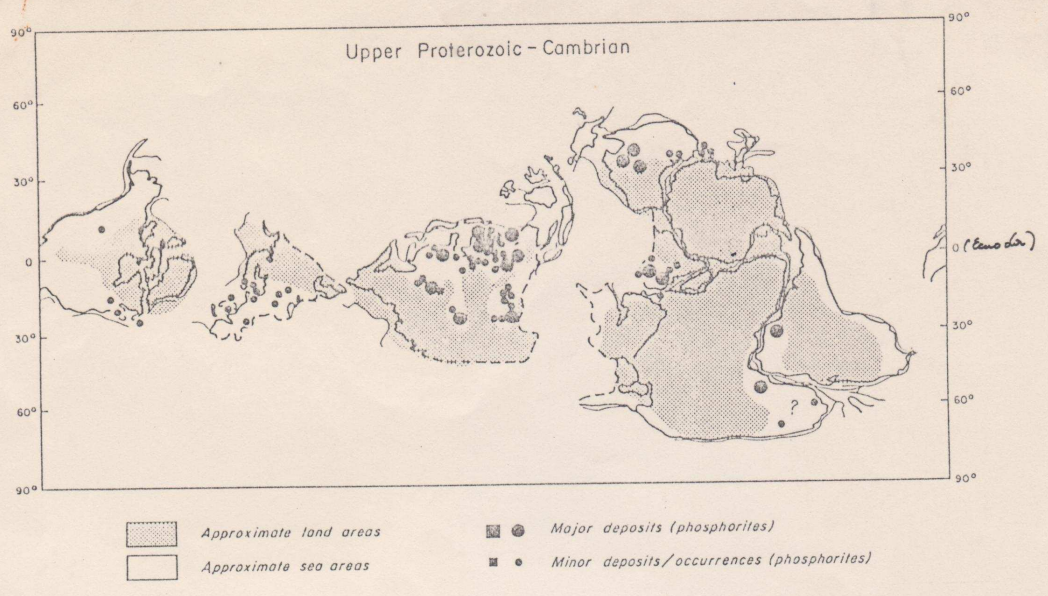
Modelo de facies y distribución de tipos de facies-standard para la secuencia carbonática del Grupo Itapucumi.

Es aceptada una variación de facie lateral y vertical a causa de transgresiones y regresiones.



Procesos activos petro-genéticos para la formación de las calizas marinas del Grupo Itapucumi.

W. G. L. G. G.



W. W. W.

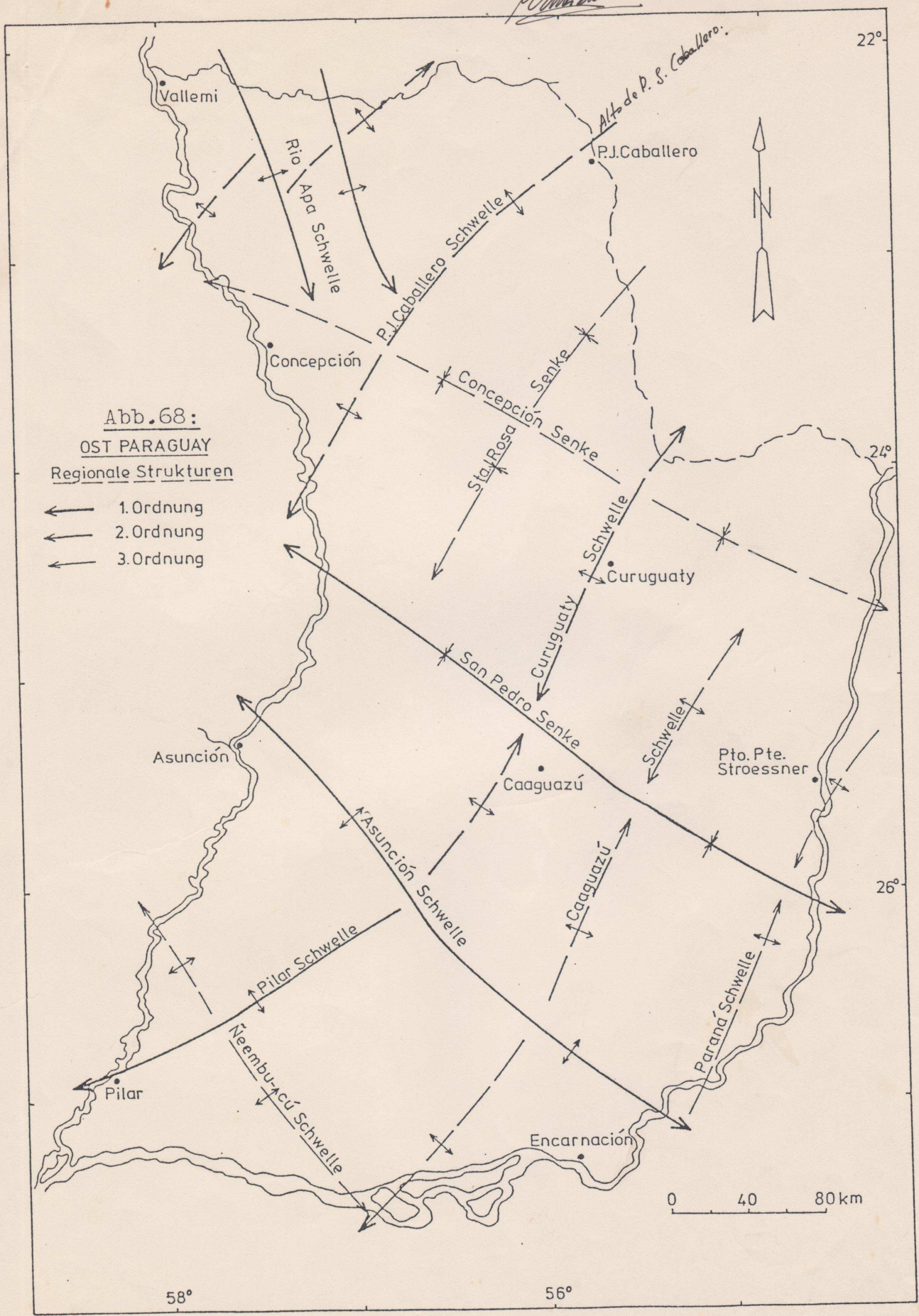


Abb. 68:
OST PARAGUAY
Regionale Strukturen

- ← 1. Ordnung
- ← 2. Ordnung
- ← 3. Ordnung

0 40 80 km

58°

56°

22°

24°

26°

U. de Chile

estrati- grafía	posibilidades metalogenéticas	formación	caracterización genética							
			magmático primario de contacto	metasomático	impregnación	pneumatolítico	secreción	sin sedimentar	secundario sedimentar	
sedimentos recientes	Sn, Au, Ti, TR, dia.	placeres								
	Au, bauxita	laterita							●	
	fosf., baux., Ba, V, U, Pb, Zn, F	enriquecimiento cárstico								
suite Magmática	fosf., zirk., TR, Nb, Ta, Ti, V, cor.	magmatitas alcalinas	●							
grupo Aquidabán	Mn, U	enriquecimiento secundario							●	
	Au, plat., PP	placeres								
serie Itapucumí	suite San Ramon	Cu, Pb, Zn	sulfidos en riolita	●						
		Cu, Pb, Zn	sulfidos y car- bonatos en contac- to a la roca caja		●					
		Be, Li, Nb, Ta, PP	pegmatita							
		Sn, W, Mo, Bi, Au	metasomatosis granítica				●			
		Au	vetas de cuarzo							
	grupo Itapucumí	fosfato (fluor- apatita)	secuencias arcill- osos-limosos							●
		Cu, Pb, Zn	estratiformo en calizas							
	Pb, Zn, Ba, Ag, F	-vetas -carbonatos o sulfidos				●				
serie San Luis	grupo San Luis	Au	vetas de cuarzo							
		Be, Nb, Ta, F, PP	pegmatita							
		Sn, W, Mo, Bi, Au	metasomatosis granítica				●			
	suite Centurión	Sn, Cu, Mn, Au	enriquecimiento secundario							●
		Cu, Pb, Zn, Ag	secuencia volca- no-sedimentar		●	●				
		U	-primario -secundario en sec. volc.-sed.	●						●
complejo basal Rio Apa	Nb, Ta, Sn, F, Li, W, Be, PP	-greisen con granitoides -pegmatita					●			
	Cu, Cr?	-anfíbrolita -foliaciones en esquisto y gneis	●					●		
	Au	-vetas de cuarzo -placeres					●		●	

Perspectivas metalogenéticas en el Subcraton Rio Apa,
Paraguay nororiental.

Geol. Einheit	Symbol	1. Maximum	2. Maximum - Bereich	3. Maximum - Bereich	4. Maximum - Bereich	Nebenmaxima (n. Priorität)	Grenze für Längen-Häufigkeitswerte
pGgn	GNEI	15° NE	13- 32° NE	46- 53° NE	-	150-172° NW	5,0
pGgg	GRGN	154° NW	148-158° NW	163-175° NW	20- 30° NE	44- 52° NE 58- 61° NE	7,3
pGgr	GRAN	22° NE	12- 26° NE	32- 45° NE	56 -60° NE	159-166° NW	8,1
Mv/Gr Ggr/Gp	MVGR	165° NW	164-171° NW	127-129° NW	13- 15° NE	81- 84° NE 102-104° NW 34- 39° NE 49- 53° NE	4,6
pGms	MSED	39° NE	38- 42° NE	168-172° NW	110-112° NW	156-159° NW 52- 58° NE 68- 71° NE 30- 32° NE	5,0
EOL	KALK	152° NW	146-155° NW	161-173° NW	-	27- 35° NE	11,5
PC	GSED	33° NE	24- 34° NE	44- 46° NE	138-140° NW	62- 64° NE 155-158° NW 146-148° NW 175-178° NW	4,4
RIO APAT	RIO APAT	165° NW	144-173° NW	20- 52° NE	14- 17° NE	57- 60° NE 139-141° NW 177-179° NW	37,0

Tab. 26: Maximabereiche lithologisch-stratigraphischer Einheiten im Rio Apa-Hochland nach einer 1°-Strukturanalyse = *Sistemas estructurales*.

Geol. Einheit	Symbol	10°-Teilung	5°-Teilung	3°-Teilung	1°-Teilung (2. Mittelw.)	Anzahl Lineationen
pEgn	GNEI	15° NE	15° NE	15° NE	15° NE	554
pEgg	GRGN	170° NW	170° NW	154° NW	154° NW	775
pEgr	GRAN	40° NE	22° NE	22° NE	22° NE	976
Mv/Gr Egr/Ep	MVGR	165° NW	165° NW	127° NE	165° NW	343
pEms	MSED	39° NE	39° NE	39° NE	39° NE	420
E01	KALK	152° NW	152° NW	164° NW	152° NW	765
PC	GSED	33° NE	33° NE	45° NE	33° NE	372
RIO APat	RIO APat	165° NW	153° NW	22° NE	165° NW	4205

Tab. 25: Rio Apa-Hochland: Maximawerte einer strukturellen Richtungsanalyse nach Photolineationen

= Foto Guraours

Tab. 28: Raumdaten statistischer Maximalfächen (SCHMIDT'sches Netz)

Kleinteuktonischer Messungen im Rio Apa-Hochland

= *Projecciones estereograficas.*

Geol. Einheit	Schicht- flächen	Foliations- flächen	Klüfte
Symbol	s0 <i>Projecciones estereograficas.</i>	s1 <i>Foliaciones</i>	11 <i>Fracturas</i>
pEgm		048/87	312/84
Mv		126/36	120/87
Gr		120/12	
pGms		012/33	216/87
E01/W	342/21		048/84
E01/E	132/09		
Egr			216/87
Eg			120/87
PC	300/03		
K			216/87